

TEILCHENPHYSIK FÜR FORTGESCHRITTENE

Die starke Wechselwirkung und Quantenchromodynamik
(Schmüser Kapitel 12)

Caren Hagner
Achim Geiser

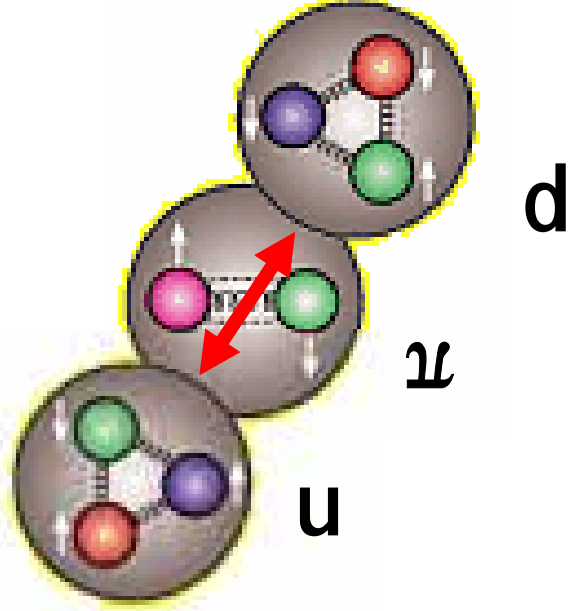


Universität Hamburg, IExpPh
Sommersemester 2007

1. Die quantenmechanische Beschreibung von Elektronen
 2. Feynman-Regeln und –Diagramme
 3. Lagrange-Formalismus und Eichprinzip
 4. QED
- Einschub: Beschleuniger und Experimente
5. Starke Wechselwirkung und QCD
 - 5.1 Einleitung: Quarks und Farbe
 - 5.2 Einschub: Gruppentheorie und Anwendungen
 - 5.3 QCD: die Theorie der starken Wechselwirkung: SU(3)-Eichinvarianz, Gell-Mann-Matrizen, Masselosigkeit der Gluonen, Lagrange-Dichte der QCD, Renormierung, “running coupling”, asymptotische Freiheit und Confinement
 - 5.4 Anwendung: Jets, Fragmentation, Entdeckung des Gluons, Messung des Gluonspins
 - 5.5 Perturbative QCD: Wirkungsquerschnitte, Messung von α_s , Struktur des Protons

5.1 Einleitung: Quarks and Farbe

- starke Kraft in Kernwechselwirkungen = "Austausch von massiven Pionen" zwischen Nucleonen (Yukawa 1945) = residuelle Van der Waals-artige Wechselwirkung



- modernes Bild: (Quantenchromodynamik, QCD) Austausch von masselosen Gluonen zwischen den Quark-Konstituenten "ähnlich" zu Elektromagnetismus (Quantenelektrodynamik, QED) zunächst nur drei Quark-Flavour bekannt: u, d, s



Hideki Yukawa
(Nobel 1949)

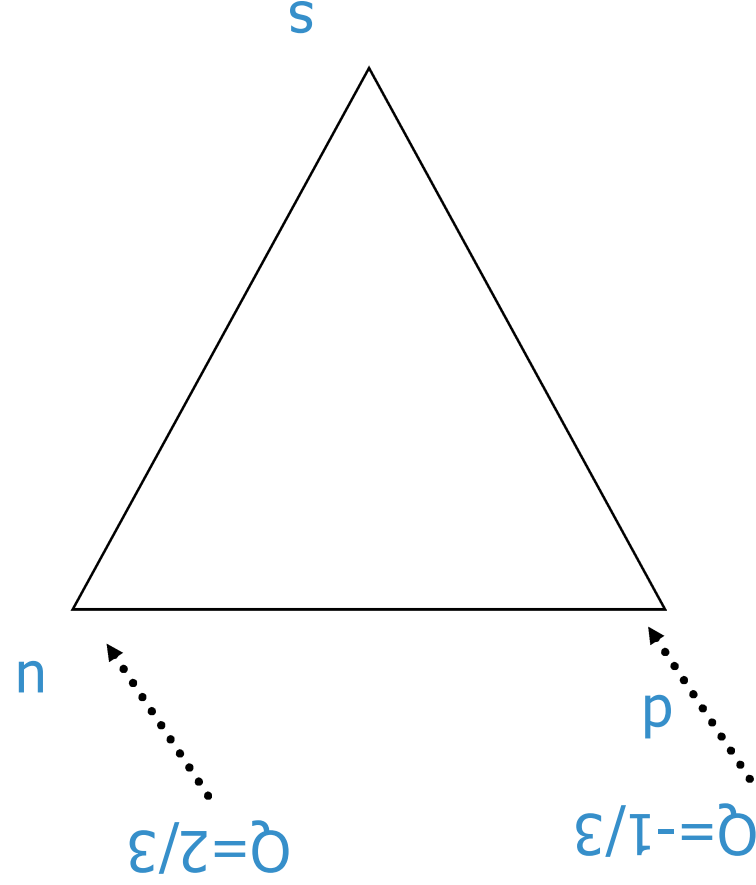
5.1. Einleitung: Das Quark-Modell (1964)

arrangiere u, d, s - Quarks als Flavour-Triplett $\Rightarrow SU(3)^{\text{flavour}}$ -Symmetrie

Murray
Gell-Mann
1962
(quarks)
(Nobel 1969)



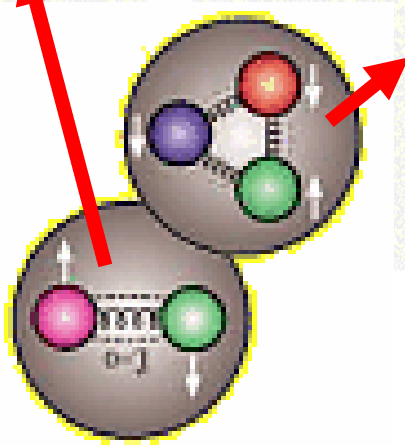
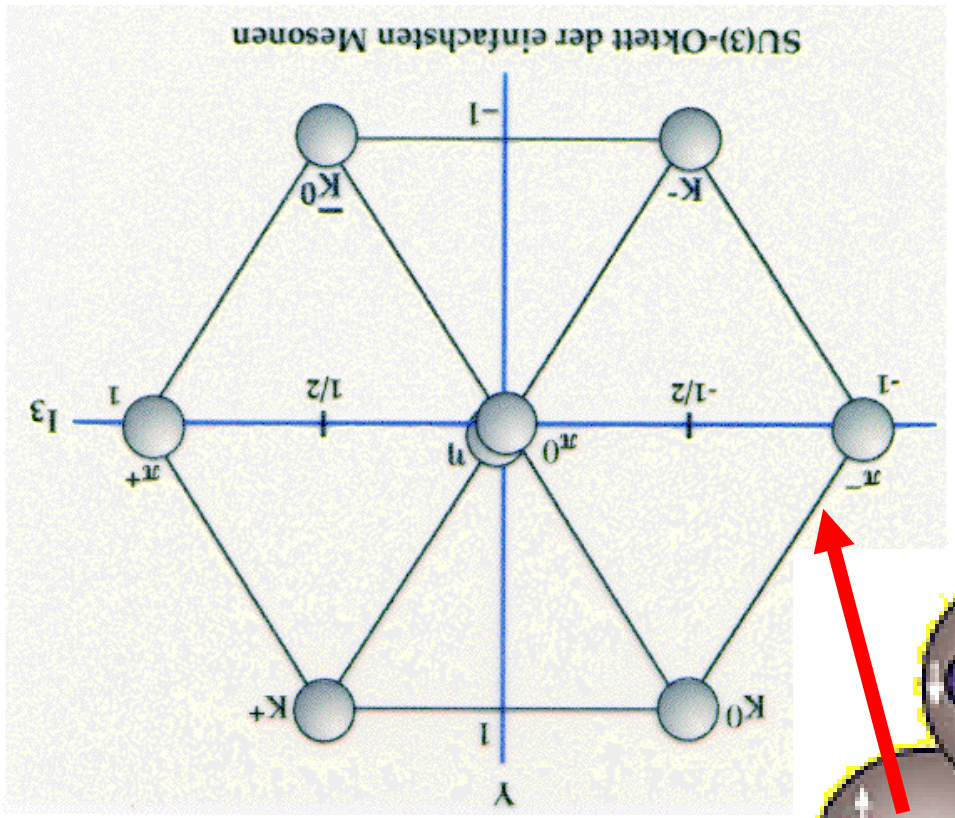
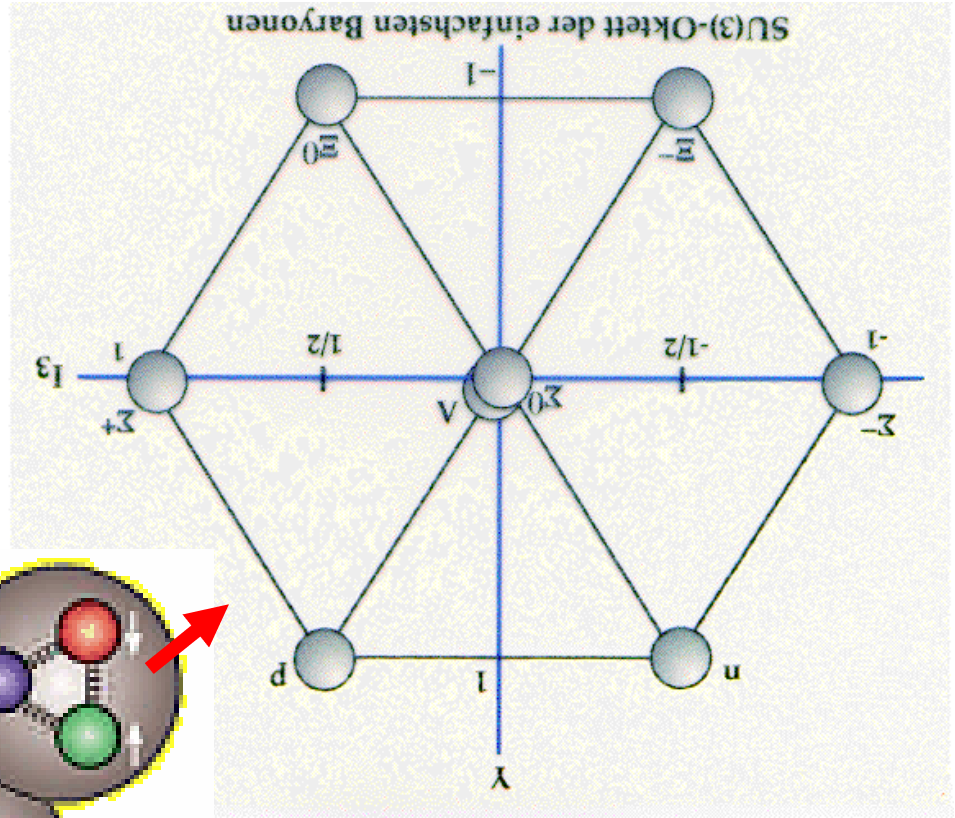
behandle alle bekannten
Hadronen (Protonen,
Neutronen, Pionen, ...)
als Objekte die aus zwei
oder drei solchen
Quarks (Antiquarks)
zusammengesetzt sind



5.1 Einleitung: Das Quark-Modell

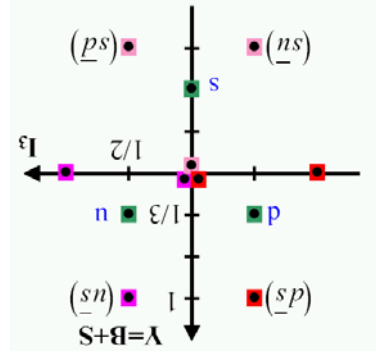
Baryonen = qqq

Mesonen = $q\bar{q}$

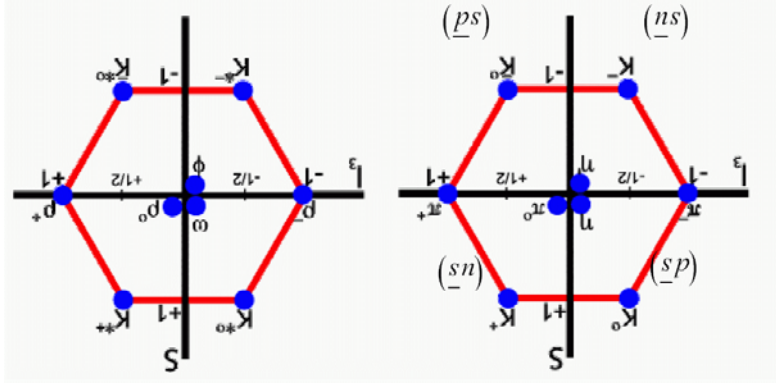


5.1. Einleitung: Das Quark-Modell

Darstellungsdiagramme erlauben leichte Übersicht der erreichbaren Kombinationen: Z.B. Kombination von Triplett mit Antitriplett ("Vektoraddition"):



Je nach Spinzustand ergeben sich **Pseudoskalar Mesonen (J^P=0⁻)** oder **Vektormesonen (J^P=1⁻)**:



Anwendung von Schiebepoperatoren (später) zeigt:

$$\underline{3} \otimes \underline{\bar{3}} = 8 \oplus 1$$

Produktvektorraum der Mesonen gliedert sich also in 2 Teilräume: ein Oktett und ein Singlett (gebildet durch das η -Teilchen). Die Teilchen auf dem Rand der Pseudoskalar sind gut bekannt. Von den drei $I_3=S=0$ -Zuständen fallen 2 ins Oktett, eins ins Singlett; sie sind Mischungen:

$$\begin{aligned} \pi_0 &= \frac{1}{\sqrt{2}}(u\bar{u} - d\bar{d}) & \eta &= \frac{1}{\sqrt{6}}(u\bar{u} + d\bar{d} - 2s\bar{s}) & \eta' &= \frac{1}{\sqrt{3}}(u\bar{u} + d\bar{d} + s\bar{s}) \\ \rho_0 &= \frac{1}{\sqrt{2}}(u\bar{u} - d\bar{d}) & \omega &= \frac{1}{\sqrt{2}}(u\bar{u} + d\bar{d}) & \phi &= s\bar{s} \end{aligned}$$

Pseudoskalar Vektor

Der Mischungscharakter wird experimentell bestimmt; nicht theoretisch vorhersagbar/verstanden.

Analog kann man **Baryonen** aus drei Quarks u, d, s konstruieren. Es zeigt sich:

$$\underline{3} \otimes \underline{3} \otimes \underline{3} = 10 \oplus 8 \oplus 8 \oplus 1$$

- Dekuplett (Δ) total symmetrisch in Quark-Flavour, **Spins alle parallel** ($J=3/2$).

- Oktetts (mit p, n): Symmetrisch bzgl. Vertauschung zweier Quarks inklusive Spins; keine def. Symmetrie bei Betrachtung der von Flavour/Spin alleine.

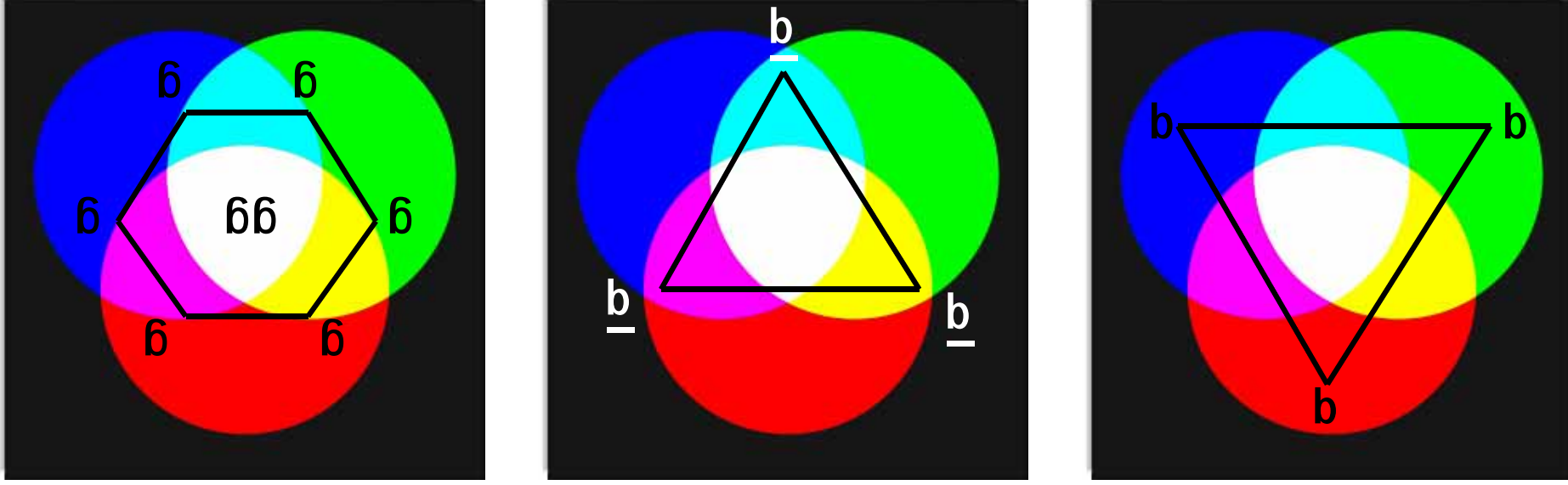
5.1. Einleitung: Farbe

Quark-Modell sehr erfolgreich, aber scheint Fermi-Statistik (Pauli-Prinzip) zu verletzen:

$$|\Delta_{++}\rangle = |uuu\rangle |\uparrow\uparrow\uparrow\rangle$$

=> führe neuen Freiheitsgrad ein:

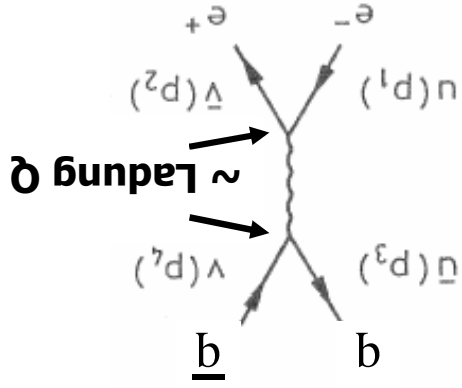
Farbe



▪ 3 Farben -> $SU(3)^{\text{colour}}$
 $qqq = \bar{q}q = qq\bar{q} = \text{weiss!}$

5.1 Farbe (colour) als physikalisches Konzept

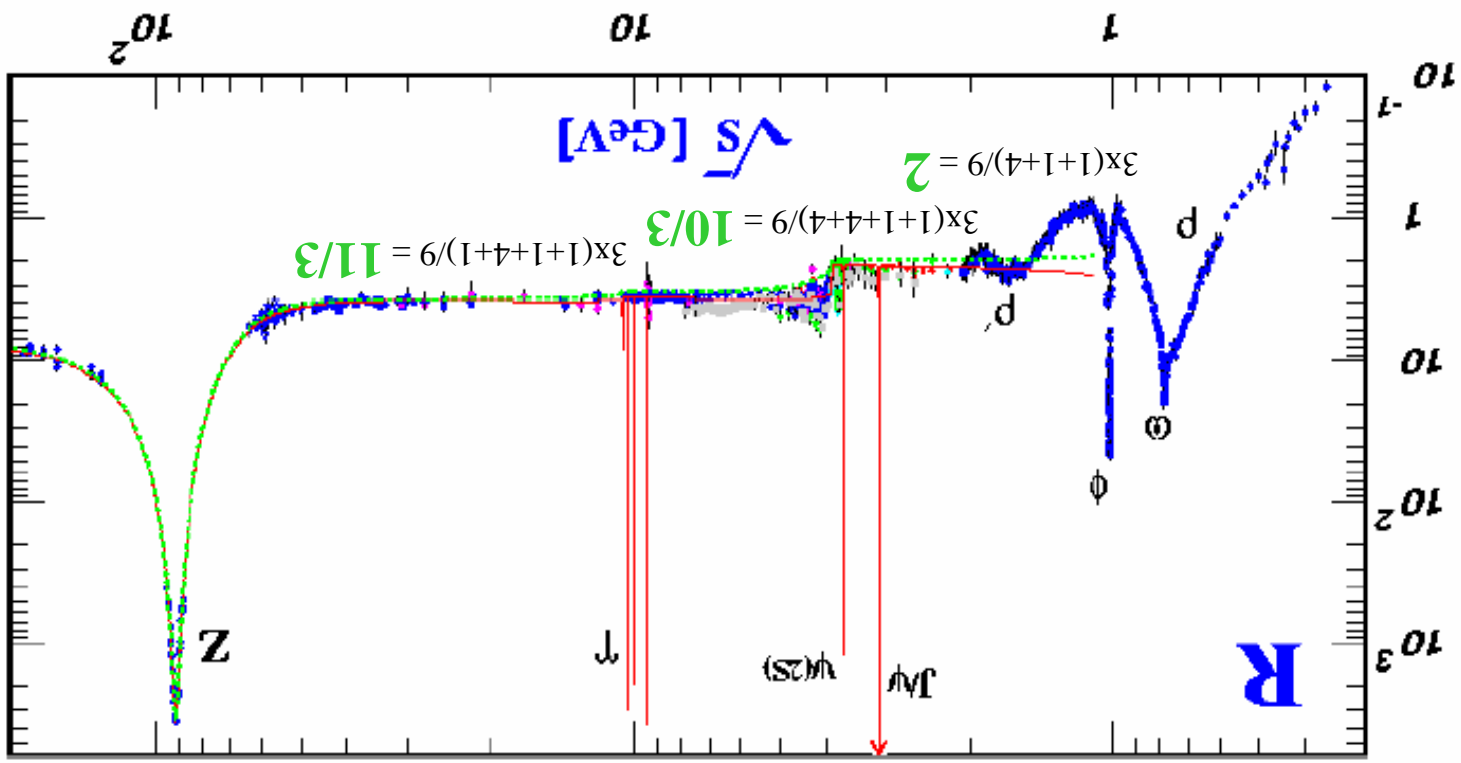
Experiment: $e^+ e^- \rightarrow \text{Hadronen} (\sim e^+ e^- \rightarrow \text{Quark} + \text{Antiquark})$



$$\sigma = \frac{4\pi\alpha^2}{3s} \cdot \tilde{Q}_2^{\text{in}} \cdot \tilde{Q}_2^{\text{out}} + Z^0 + \text{Resonanzen}$$

$$R = \frac{\sigma(e^+ e^- \rightarrow \text{Hadronen})}{\sigma(e^+ e^- \rightarrow \mu^+ \mu^-)} = N^{\text{Colour}} \sum_{i=\text{Quarks}} \tilde{Q}_2^i$$

Z über Quarks mit $m > \sqrt{s}/2$



Charmschwelle 3.7 GeV
 $\Delta R = 4/3 = 3 \times (2/3)^2 \rightarrow N_c = 3, Q^{\text{charm}} = 2/3$

Beautyschw. 10.5 GeV
 $\Delta R = 1/3 = 3 \times (1/3)^2 \rightarrow N_c = 3, Q^{\text{Beauty}} = 1/3$

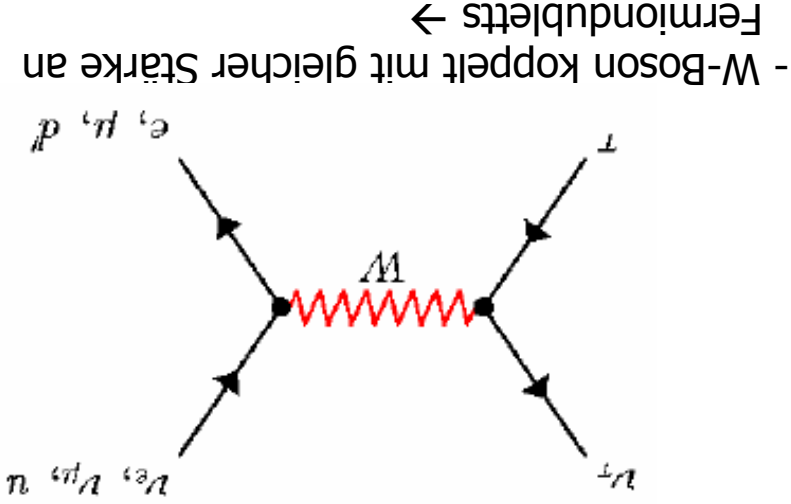
$\rightarrow N^{\text{Colour}} = 3$

(außerdem Resonanzen bei Schwellen + Z^0)

5.1 Farbe (Colour) – Ladung der starken WW

Weitere Experimente zu Anzahl Farben:

Zerfall des τ -Leptons:

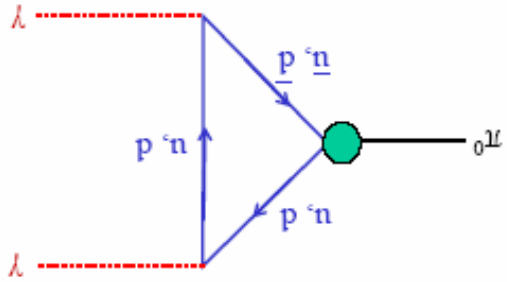


$$\frac{\Gamma(\tau^- \rightarrow \nu_\tau X) = \Gamma(\tau^- \rightarrow \nu_\tau e^- \bar{\nu}_e)}{1 + \Gamma(\tau^- \rightarrow \nu_\tau \mu^- \bar{\nu}_\mu) + \Gamma(\tau^- \rightarrow \nu_\tau d' \bar{u}') = 0.2}$$

$$\exp.: 0.1784 \pm 0.0006$$

- Unterschied: Korrekturen höherer Ordnung

Zerfallsrate des π^0 :

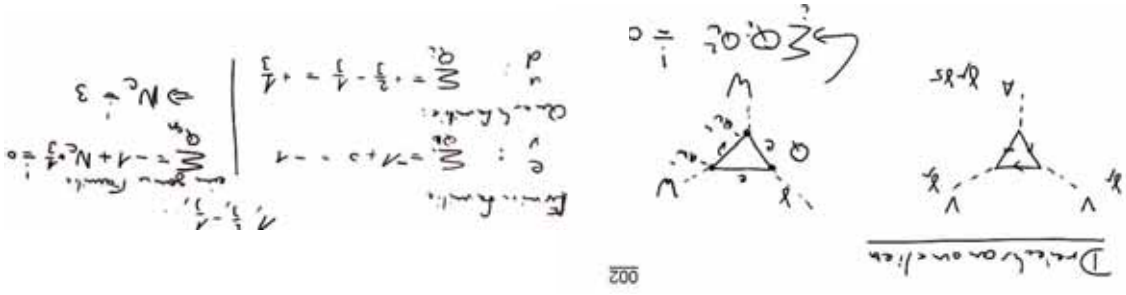


$$M = \frac{e^2}{4\pi^2} (\tilde{Q}_2^n - \tilde{Q}_2^d) \cdot N_c, \tau = (8.4 \pm 0.6) \cdot 10^{-17} \text{ s}$$

$$\Rightarrow N_c = 3.06 \pm 0.10$$

Dreiecks-Diagramm
Jede Farbe trägt zur Zerfalls-
amplitude bei.
Drei Farben verändern die
Zerfallsrate um einen Faktor 9.

- außerdem "Dreiecks-Anomalie" im SM:
 $\sum Q(\text{Quarks}) + \sum Q(\text{Leptonen}) = 0$; $3 \times (2/3 - 1/3) - 1 = 0$



5.2 Einschub: GRUPPENTHEORIE

Symmetrieprinzip: Invarianz eines physikalischen Systems unter Transformationen (z.B. Translation).

- Menge der möglichen Transformationen: **Gruppe**
Gruppe \equiv Menge G der Elementen R_i verknüpft mit Operation "*" wenn gilt:

- Abgeschlossenheit: $R_i, R_j \in G \rightarrow R_i * R_j \in G$

- Existenz des 1-Elements: $R_i * 1 = R_i$

- Existenz des Inversen: $R_i * R_i^{-1} = 1$

- Assoziativität: $R_i * (R_j * R_k) = (R_i * R_j) * R_k$

- Gruppe heisst nicht-abelsch, falls: $R_i * R_j \neq R_j * R_i$.

- **Diskrete Gruppen:** z.B. Gruppe der Permutationen dreier Objekte "S₃" mit 6 Elementen.

1: (123) - (123) b: antizykl. Vertausch. d: 3 \leftrightarrow 1

a: zykl. Vertauschung c: 2 \leftrightarrow 3 e: 1 \leftrightarrow 2

- **Kontinuierliche (Lie-)Gruppe:** unendliche Zahl von Elementen, die kontinuierlich von d Parametern abhängen (**d=Ordnung der Gruppe**). z.B. räumliche Rotation mit d=3 Parametern (3 Euler-Winkel)

- **Darstellung einer Gruppe:** Wenn es eine isomorphe Abbildung zwischen den Gruppenelementen R_i und einer Menge von $n \times n$ -Matrizen Γ gibt mit

$\Gamma(R_1)\Gamma(R_2) = \Gamma(R_1R_2) \rightarrow$ dann Gruppe der Matrizen Γ Darstellung der Gruppe (mit **Dimension = n**)

(z.B. 3dim-Drehgruppe ist isomorph zur Gruppe SO(3) orthonomaler 3x3-Matrizen mit det=1)

- Darstellungen der Drehgruppe: z.B. Dimension 2 \rightarrow Pauli-Matrizen \rightarrow Multiplikets mit Drehimpuls $J=1/2$).
 - **Darstellung reduzibel** wenn durch Transformation M Γ blockweise diagonalisiert werden kann:

$$\Gamma'(R) = M^{-1}\Gamma M = \begin{pmatrix} \Gamma^{(1)}(R) & & \\ & \Gamma^{(2)}(R) & \\ & & \dots \end{pmatrix}$$

Jedes $\Gamma^{(i)}$ ist auch eine Darstellung der Gruppe!

- **Irreduzible Darstellung:** wenn die $\Gamma^{(i)}$ nicht weiter reduzierbar. Beispiel: Gruppe "S₃":

Vorher	Nachher	Matrix =	Transf.-Matrix
$\begin{pmatrix} 1 & 2 & 3 \\ 1 & 2 & 3 \\ 1 & 2 & 3 \end{pmatrix}$	$\begin{pmatrix} 1 & 2 & 3 \\ 2 & 3 & 1 \\ 3 & 1 & 2 \end{pmatrix}$	$\begin{pmatrix} x \\ y \\ z \end{pmatrix} = \begin{pmatrix} x \\ y \\ z \end{pmatrix}$	$\begin{pmatrix} 1 & & \\ & 1 & \\ & & 1 \end{pmatrix}$
$\begin{pmatrix} 1 & 2 & 3 \\ 1 & 2 & 3 \\ 1 & 3 & 2 \end{pmatrix}$	$\begin{pmatrix} 1 & 2 & 3 \\ 1 & 3 & 2 \\ 3 & 2 & 1 \end{pmatrix}$	$\begin{pmatrix} x \\ y \\ z \end{pmatrix} = \begin{pmatrix} x \\ z \\ y \end{pmatrix}$	$\begin{pmatrix} 1 & & \\ & 1 & \\ & & 1 \end{pmatrix}$
$\begin{pmatrix} 1 & 2 & 3 \\ 1 & 2 & 3 \\ 2 & 1 & 3 \end{pmatrix}$	$\begin{pmatrix} 1 & 2 & 3 \\ 3 & 2 & 1 \\ 2 & 1 & 3 \end{pmatrix}$	$\begin{pmatrix} x \\ y \\ z \end{pmatrix} = \begin{pmatrix} x \\ y \\ z \end{pmatrix}$	$\begin{pmatrix} 1 & & \\ & 1 & \\ & & 1 \end{pmatrix}$

$$\begin{pmatrix} \dots & \dots & 0 \\ \dots & \dots & 0 \\ 0 & 0 & 1 \end{pmatrix}$$

Darstellung ist reduzibel:
 - (x+y+z) bleibt invariant \rightarrow Wahl neuer Achsen X', Y', Z', Z \perp Ebene (x+y+z=const)

\rightarrow Z invariant
 - neue Trafo-Matrizen \rightarrow

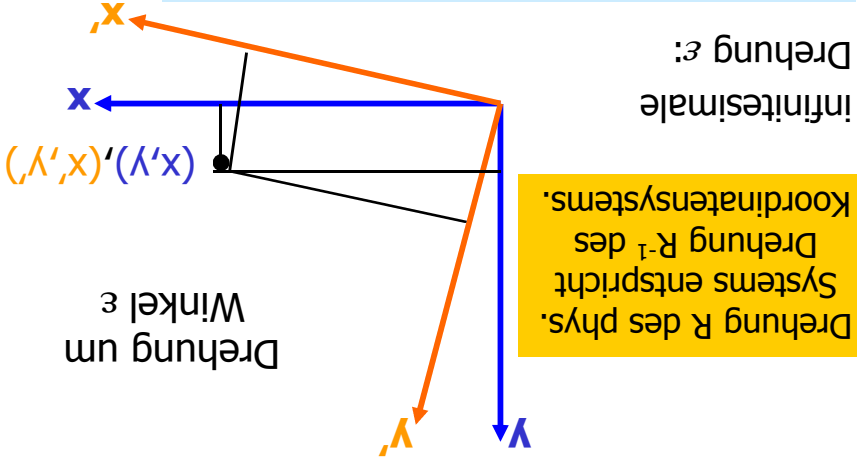
Zerlegung 3=2+1



5.2 BEISPIEL: RAUMDREHUNG FÜR SKALAR

U sei die Transformation, die eine Drehung R des Systems z.B. um Achse z bewirkt (Gruppe SO(3)):

$$\psi'(x, y, z) = U\psi(x, y, z) = \psi(R^{-1}(x, y, z))$$



$$\begin{aligned} dx' &= dx \cos \varepsilon - dy \sin \varepsilon \\ dy' &= dx \sin \varepsilon + dy \cos \varepsilon \end{aligned}$$

Damit ergibt sich:

$$\begin{aligned} U\psi(x, y, z) &= \psi(x \cos \varepsilon + y \sin \varepsilon, -x \sin \varepsilon + y \cos \varepsilon, z) \\ &= \psi(x \cos \varepsilon - y \sin \varepsilon, x \sin \varepsilon + y \cos \varepsilon, z) \end{aligned}$$

$$e^{i\theta J_z}$$

J_z nennt man den **Generator der Drehung**.
Viele infinitesimale Drehungen hintereinander:

$$U(\theta) = [U(\varepsilon)]^n = \left[1 - i\theta J_z \right]^n \xrightarrow{n \rightarrow \infty} e^{-i\theta J_z}$$

... und ebenso für die x,y-Achsen. Dabei gilt die **Lie-**

Algebra:

$$[J^k, J^l] = i\epsilon^{klm} J^m$$

Anmerkungen:

- die Lie-Algebra beschreibt die Struktur der Gruppe.
- die ϵ^{klm} sind die Strukturkonstanten der Gruppe; sie alleine legen die physikalischen Konsequenzen fest!
- **Dimensionen** der Matrizen J hängen vom physikalischen System ab: e.g. Spin-1/2 $\rightarrow n=2$.
- im Falle der Dimension n gibt es n^2-1 Generatoren.
- **Generatoren** sind hermitisch mit Spur=0.
- jeder diagonalisierbarer Generator \rightarrow **additive Quantenzahl**.

- **Multiplikt:** Invarianter Vektorraum entarteter Eigenfunktionen einer Symmetriegruppe.
- Anzahl gleichzeitig diagonalisierbarer Generatoren: **Rang r** $\rightarrow r$ unabhängige (**Casimir-Operatoren** mit gleichen Eigenwerten für alle Multiplikt-Zustände

Unitär: $U^{-1}=U^\dagger$ (herm.konjugiert) ... **$U(n)$**

Speziell: unitär mit $\det=1$... **$SU(n)$**

Orthogonal: reelle unitär; **SO** speziell unitär ... e.g. SO(3)

5.2 Beispiele für Matrizendarstellung der $SO(3)=SU(2)$

001

Gruppentheorie

Beispiele für Darstellung der
Gruppenoperation des $SO(3) \cong SU(2)$

3 Dimensionen:

$$J_1 = \begin{pmatrix} 0 & -i & 0 \\ i & 0 & 0 \\ 0 & 0 & 0 \end{pmatrix}$$

$$J_2 = \begin{pmatrix} 0 & 0 & 0 \\ 0 & 0 & -i \\ i & 0 & 0 \end{pmatrix} \quad J_3 = \begin{pmatrix} 0 & 0 & 0 \\ 0 & 0 & i \\ 0 & -i & 0 \end{pmatrix}$$

2 Dimensionen: Pauli-Matrizen

$$\sigma_1 = \begin{pmatrix} 0 & 1 \\ 1 & 0 \end{pmatrix} \quad \sigma_2 = \begin{pmatrix} 0 & -i \\ i & 0 \end{pmatrix} \quad \sigma_3 = \begin{pmatrix} 1 & 0 \\ 0 & -1 \end{pmatrix}$$

Generatoren für Drehungen im Spinorraum ($SO(3)$)
Generatoren für Drehungen (Schwungrad) $SU(2)$

5.2 INNERE SYMMETRIEN, SU(2)-ISOSPIN

Bis jetzt **räumliche** Drehungen; jetzt **innere Symmetrien**:

Symmetrie bzgl. eines abstrakten Raumes, von dessen Koordinaten die Wellenfunktion nicht explizit abhängt.

Beispiele:

- SU(2)-Isospin (Heisenberg, entspricht Flavour-SU(2)):

$$\begin{pmatrix} u \\ d \end{pmatrix} : d = \begin{pmatrix} 0 & 0 \\ 1 & 1 \end{pmatrix} u \quad \text{und} \quad \begin{pmatrix} 0 \\ 1 \end{pmatrix} = u$$

$$\begin{pmatrix} p \\ n \end{pmatrix}$$

- SU(2) schwacher Isospin: Dubletts/

Triplets:

$$\begin{pmatrix} W_+ \\ W_0 \\ W_- \end{pmatrix} \quad \begin{pmatrix} l \\ \nu \end{pmatrix} \quad \begin{pmatrix} p \\ n \end{pmatrix}$$

-SU(3)-Flavour:

$$\begin{pmatrix} s \\ p \\ n \end{pmatrix}$$

- SU(3)-Colour:

$$\begin{pmatrix} r \\ g \\ b \end{pmatrix}$$

Von Heisenberg 1932 zur Beschreibung von n, p in einer Darstellung entwickelt: Generatoren sind hier die Pauli-Spin-Matrizen $J_i = 1/2 \sigma_i$; es gilt z.B.:

$$I_3 d = \frac{1}{2} \begin{pmatrix} 1 & 0 \\ 0 & -1 \end{pmatrix} \begin{pmatrix} 0 \\ 2 \end{pmatrix} = \frac{1}{2} d, \quad I_3 u = \frac{1}{2} \begin{pmatrix} 1 & 0 \\ 0 & -1 \end{pmatrix} \begin{pmatrix} 2 \\ 0 \end{pmatrix} = -\frac{1}{2} u$$

5.2 INNERE SYMMETRIEN, SU(2)-ISOSPIN

Auf/Absteige-(Schiebe-)Operatoren

$$I_{\pm} \equiv \frac{1}{2} (\sigma_1 \pm i \sigma_2) = \begin{pmatrix} 0 & 1 \\ 1 & 0 \end{pmatrix} \quad I_+ u = \begin{pmatrix} 0 & 0 \\ 0 & 1 \end{pmatrix} \begin{pmatrix} 0 \\ 1 \end{pmatrix} = \begin{pmatrix} 1 \\ 0 \end{pmatrix} = d$$

Anwendung auf andere als Isospin-1/2-Systeme:

- Isospin-0: $|0, 0\rangle, I_3 = I_+ = I_- = 0 \rightarrow$ "trivial"

- Isospin-1: $|1, -1\rangle, |1, 0\rangle, |1, 1\rangle$

$$I_3 = \begin{pmatrix} 1 & 0 & 0 \\ 0 & 0 & 0 \\ 0 & 0 & -1 \end{pmatrix} = I_+ = \begin{pmatrix} 0 & 0 & 0 \\ \sqrt{2} & 0 & 0 \\ 0 & \sqrt{2} & 0 \end{pmatrix} = I_- = \begin{pmatrix} 0 & \sqrt{2} & 0 \\ 0 & 0 & \sqrt{2} \\ 0 & 0 & 0 \end{pmatrix}$$

Anwendung auf Systeme wie $\pi^+, \pi^0, \pi^-, \Sigma^+, \Sigma^0, \Sigma^-,$ etc.

\leftarrow Übungsaufgabe)

Kombination von Darstellungen (Teilchen):

bisher nur ein Teilchen betrachtet – Systeme mit mehrerer Teilchen \rightarrow Rückgriff auf Addition von Drehimpulsen aus der Quantenmechanik:

Teilchen 1 und 2 mit Drehimpulsen J_1, J_2 und dritten

Komponenten m_1, m_2 :

$$|J, m\rangle = \sum_{m_1, m_2} \langle m_1, m_2 | J, m \rangle |J_1, m_1\rangle |J_2, m_2\rangle \quad C(m_1, m_2, J, m) \equiv \langle m_1, m_2 | J, m \rangle$$

Clebsch-Gordan Koeffizienten geben an, wie sich Zustand $|J, M\rangle$ aus $|J_1, m_1\rangle$ und $|J_2, m_2\rangle$ zusammensetzt:

5.2 CLEBSCH-GORDAN-KOEFFIZIENTEN

- Elemente einer unitären Matrix des Rangs $(2j_1+1)(2j_2+1)$.
- Explizit berechenbar; tabelliert.

32. Clebsch-Gordan coeff

32. CLEBSCH-GORDAN COEFFICIENTS, SPHERICAL HARMONICS AND d FUNCTIONS

Note: A square-root sign is to be understood over every coefficient, e.g., for $-8/15$ read $-\sqrt{8/15}$

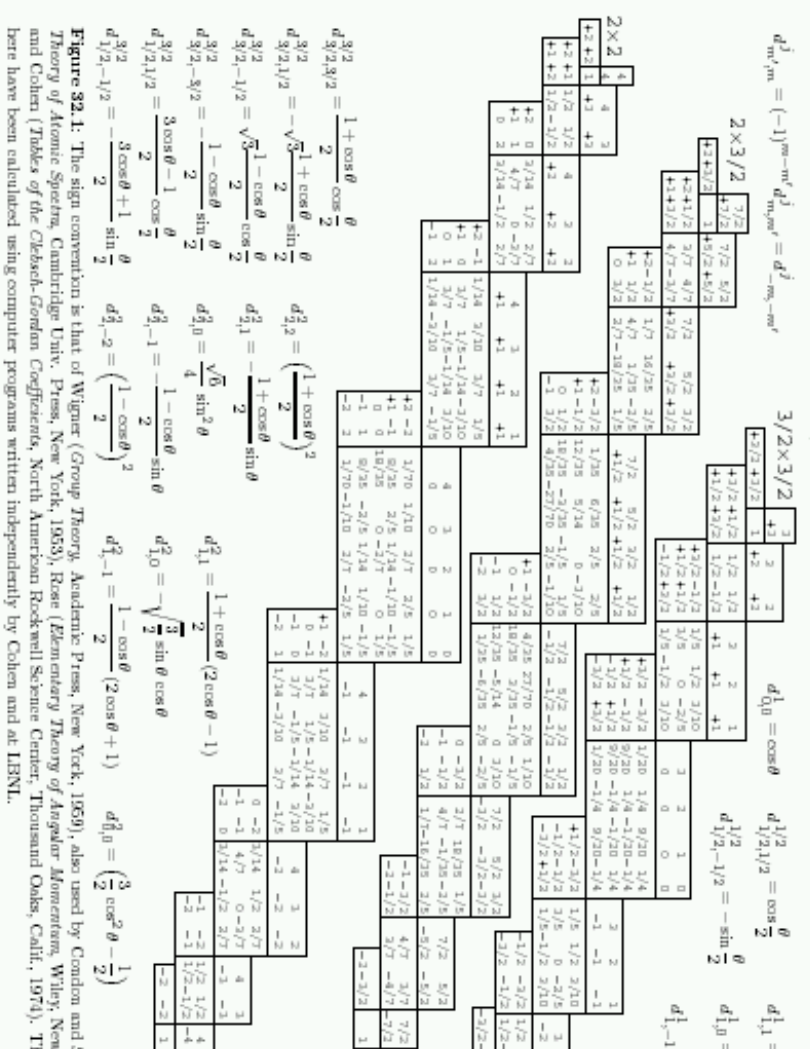
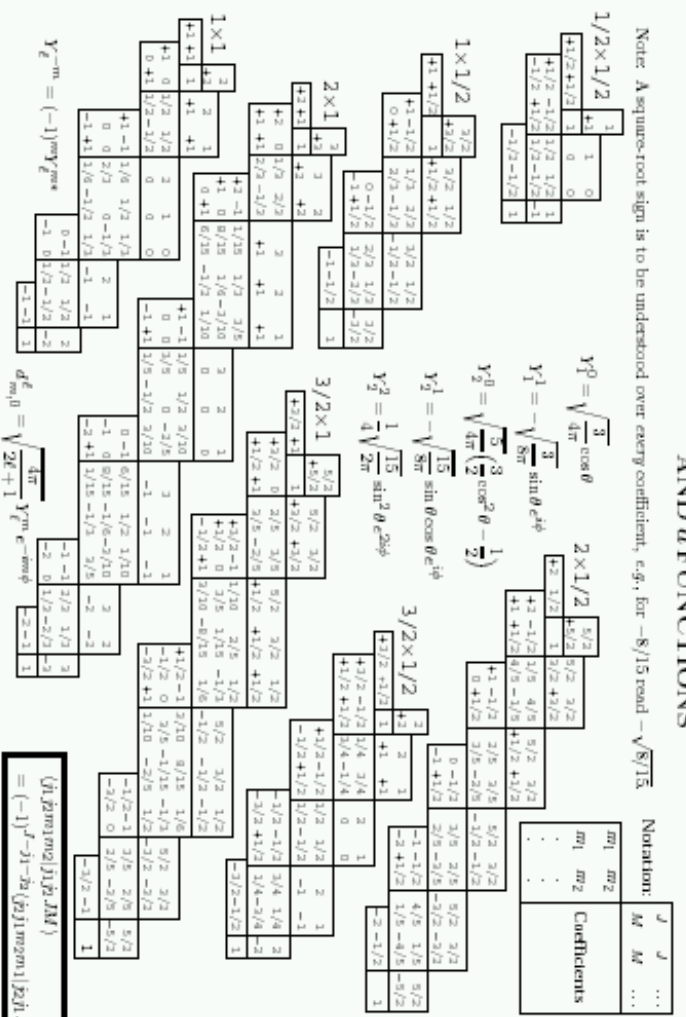
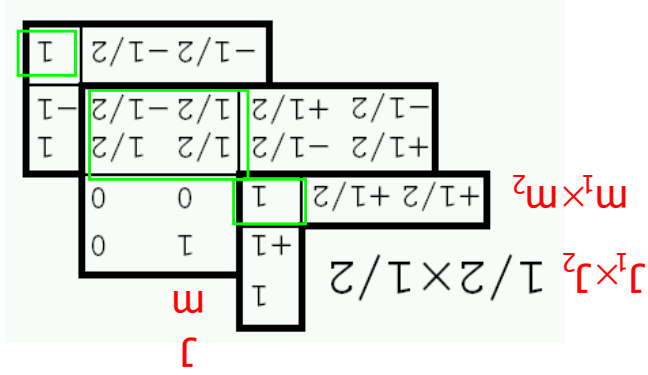


Figure 32.1: The sign convention is that of Wigner (Group Theory, Academic Press, New York, 1969), also used by Condon and Shortley (The Theory of Atomic Spectra, Cambridge Univ. Press, New York, 1953), Rose (Elementary Theory of Angular Momenta, Wiley, New York, 1957), and Cohen (Tables of the Clebsch-Gordan Coefficients, North American Rockwell Science Center, Thousand Oaks, Calif., 1974). The coefficients here have been calculated using computer programs written independently by Cohen and at LIBNL.

5.2 CGK: BEISPIEL, ANWENDUNG

Addition zweier Spin-1/2-Teilchen:



Also:

$$\begin{aligned}
 |1, 1\rangle &= |1, 1\rangle = \left| m_1 = +\frac{1}{2}, m_2 = +\frac{1}{2} \right\rangle \\
 |1, 0\rangle &= \frac{1}{\sqrt{2}} \left| \frac{1}{2}, -\frac{1}{2} \right\rangle + \frac{1}{\sqrt{2}} \left| \frac{1}{2}, \frac{1}{2} \right\rangle \\
 |1, -1\rangle &= |1, -1\rangle = \left| m_1 = -\frac{1}{2}, m_2 = -\frac{1}{2} \right\rangle \\
 |0, 0\rangle &= \frac{1}{\sqrt{2}} \left| \frac{1}{2}, -\frac{1}{2} \right\rangle - \frac{1}{\sqrt{2}} \left| \frac{1}{2}, \frac{1}{2} \right\rangle
 \end{aligned}$$

Es ergeben sich also aus der Kombination von 2 Dubletts 4 Zustände, drei in einem Triplet und einer in einem Singlett. **Symbolisch:**

$$2 \otimes 2 = 3 \oplus 1$$



Anwendung auf Isospin I und die Kombination von n, p zu N, N -Systemen (Analogie zum QM -Spin):

$$\begin{array}{ccc}
 I^3 = 1 & I^3 = 0 & I^3 = -1 \\
 (d, d) & (d, u) & (u, u) \\
 \downarrow \downarrow & \downarrow \uparrow & \uparrow \uparrow \\
 I^3 = 1 & I^3 = 0 & I^3 = -1 \\
 (d, d) & (d, u) & (u, u) \\
 \downarrow \downarrow & \downarrow \uparrow & \uparrow \uparrow
 \end{array}$$

Erweiterte Definition der **Auf/Absteige-Operatoren**

etc. für **Kombinationen von Teilchen**, z.B.:

$$\begin{aligned}
 I_{ges}^3 &= I_{(1)}^3 + I_{(2)}^3 \\
 I_{ges}^+ &= I_{(1)}^+ + I_{(2)}^+
 \end{aligned}$$

Erster Summand wirkt nur auf "erstes" Teilchen etc.

$$\bar{I}_{ges}^3 (du) = (I_{(1)}^3 + I_{(2)}^3)(du) = I_{(1)}^3 (du) + I_{(2)}^3 (du) = \dots$$

Erweiterung auf Antiteilchen:

$$\begin{aligned}
 \bar{I}_{ges}^3 &= I_{(1)}^3 + I_{(2)}^3 \\
 \bar{I}_{ges}^+ &= I_{(1)}^+ + I_{(2)}^+
 \end{aligned}$$

"-"-Zeichen, weil Ladungskonjugation und Isospin-Rotation nicht unabhängig voneinander!

Anwendung auf u, d -Quarks statt n, p trivial. Daher

gleich der komplexere Fall \rightarrow **SU(3)-Flavour: u, d, s**

5.2 SU(3)-FLAVOUR

(Gleiches Werkzeug wie im Fall von SU(3)-Colour)

Erweiterung auf SU(3)-Flavour:

Hier sind die Generatoren die 8 Gell-Mann-Matrizen, die auf die Flavour-Triplets (u,d,s) wirken:

$$\lambda_1 = \begin{pmatrix} 0 & 1 & 0 \\ 1 & 0 & 0 \\ 0 & 0 & 0 \end{pmatrix} \quad \lambda_2 = \begin{pmatrix} 0 & -i & 0 \\ i & 0 & 0 \\ 0 & 0 & 0 \end{pmatrix} \quad \lambda_3 = \begin{pmatrix} 1 & 0 & 0 \\ 0 & 0 & 0 \\ 0 & 0 & -1 \end{pmatrix}$$

$$\lambda_4 = \begin{pmatrix} 0 & 0 & 1 \\ 0 & 0 & 0 \\ 1 & 0 & 0 \end{pmatrix} \quad \lambda_5 = \begin{pmatrix} 0 & 0 & -i \\ 0 & 0 & 0 \\ i & 0 & 0 \end{pmatrix} \quad \lambda_6 = \begin{pmatrix} 0 & 1 & 0 \\ 1 & 0 & 0 \\ 0 & 0 & 0 \end{pmatrix}$$

$$\lambda_7 = \begin{pmatrix} 0 & 0 & 0 \\ 0 & 0 & 1 \\ 0 & 1 & 0 \end{pmatrix} \quad \lambda_8 = \frac{\sqrt{3}}{2} \begin{pmatrix} 1 & 0 & 0 \\ 0 & 1 & 0 \\ 0 & 0 & -2 \end{pmatrix}$$

$$\begin{pmatrix} s \\ d \\ u \end{pmatrix}$$

Formal betrachtet man hier Drehungen im Flavour-Raum

$$U = \exp(i \sum \omega_i \lambda_i)$$

mit 8 "Winkeln" (Parametern) ω (\rightarrow Ordnung $d=8$).
 – Es gibt 2 Casimir-Operatoren (Rang 2), z.B.:

$$C_1 = \frac{1}{8} \sum_{i=1}^8 \lambda_i^2 \quad C_2 = \frac{1}{8} \sum_{ijk} f_{ijk} \lambda_i \lambda_j \lambda_k$$

– λ_3, λ_8 sind diagonal \rightarrow 2 additive Quantenzahlen, Eigenwerte von:

$$I_3 = \frac{1}{2} \lambda_3 \quad Y = \frac{1}{\sqrt{3}} \lambda_8$$

Isospin
 Hyperladung

Gell-Mann-Nishijima: (Y=B+S, Baryonzahl B, Strangeness S)

$$\tilde{Q} = I_3 + \frac{B+S}{2} = I_3 + \frac{Y}{2}$$

Schiebeoperatoren, die u in d transformieren und den Isospin abfragen:

$$I_+ = \frac{1}{2} (\lambda_1 + i \lambda_2) \quad I_- = \frac{1}{2} (\lambda_1 - i \lambda_2) \quad I_3 = \frac{1}{2} \lambda_3$$

Es gilt:

$$I_+^n u = 0 \quad I_+ u = u \quad I_+^n d = 0$$

$$I_3^n u = \frac{1}{2} n \quad I_3 d = -\frac{1}{2} n \quad I_3^s = 0$$

Strangeness-Operator: $S = \frac{\lambda_8}{\sqrt{3}} - \frac{1}{3}$

Man kann auch Schiebeoperatoren u \rightarrow s und s \rightarrow d definieren (mithilfe der Matrizen $\lambda_4 - \lambda_7$), z.B.:

$$\frac{1}{2} (\lambda_4 + i \lambda_5) s = \frac{1}{2} \begin{pmatrix} 1 & 0 & 0 & 0 \\ 0 & 0 & 0 & i \\ 0 & 0 & 0 & 0 \\ 0 & 0 & 0 & 0 \end{pmatrix} \begin{pmatrix} 1 \\ 0 \\ 0 \\ 0 \end{pmatrix} = \frac{1}{2} \begin{pmatrix} 0 & 0 & 0 & 0 \\ 0 & 0 & 0 & 0 \\ 0 & 0 & 0 & 0 \\ 0 & 0 & 2 & 0 \end{pmatrix} \begin{pmatrix} 1 \\ 0 \\ 0 \\ 0 \end{pmatrix} = \begin{pmatrix} 0 \\ 0 \\ 0 \\ 1 \end{pmatrix} = n$$

Mit all dem und den Antitriplets/Anti-Generatoren (Umkehrung aller additiven Quantenzahlen)

$$\bar{I}_3 = -I_3 \quad \bar{S} = -S$$

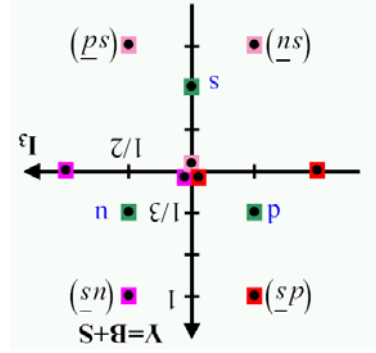
$$\bar{B} = -B \quad \bar{\lambda}_j = -\lambda_j^*$$

$$\bar{u} = \begin{pmatrix} 1 \\ 0 \\ 0 \\ 0 \end{pmatrix} \quad \bar{d} = \begin{pmatrix} 0 \\ 1 \\ 0 \\ 0 \end{pmatrix} \quad \bar{s} = \begin{pmatrix} 0 \\ 0 \\ 1 \\ 0 \end{pmatrix}$$

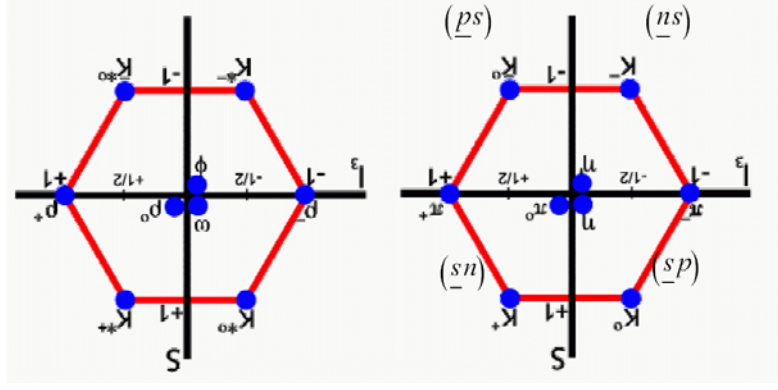
... Werkzeug, um Quark-Antiquark-Systeme zu bauen.

5.2 DARSTELLUNGS-DIAGRAMME

Darstellungsdiagramme erlauben leichte Übersicht der erreichbaren Kombinationen: Z.B. Kombination von Triplet mit Antitriplet ("Vektoraddition"):



Je nach Spinzustand ergeben sich **Pseudoskalar Mesonen (J^P=0⁻)** oder **Vektormesonen (1⁻)**:



Anwendung von Schiebepoperatoren zeigt:

$$\underline{3} \otimes \underline{\bar{3}} = 8 \oplus 1$$

Produktvektorraum der Mesonen gliedert sich also in 2 Teilräume: ein Oktett und ein Singlett (gebildet durch das η -Teilchen). Die Teilchen auf dem Rand der Pseudoskalar sind gut bekannt. Von den drei $I_3=S=0$ -Zuständen fallen 2 ins Oktett, eins ins Singlett; sie sind Mischungen:

$$\begin{aligned} \pi_0 &= \frac{1}{\sqrt{2}}(u\bar{u} - d\bar{d}) & \eta &= \frac{1}{\sqrt{6}}(u\bar{u} + d\bar{d} - 2s\bar{s}) & \phi &= \frac{1}{\sqrt{2}}(u\bar{u} + d\bar{d}) \\ \rho_0 &= \frac{1}{\sqrt{2}}(u\bar{u} - d\bar{d}) & \omega &= \frac{1}{\sqrt{2}}(u\bar{u} + d\bar{d}) & s\bar{s} &= \phi \end{aligned}$$

Pseudoskalar Vektor

Der Mischungscharakter wird experimentell bestimmt; nicht theoretisch vorhersagbar/verstanden.

Analog kann man **Baryonen** aus drei Quarks u, d, s konstruieren. Es zeigt sich:

$$\underline{3} \otimes \underline{3} \otimes \underline{3} = 10 \oplus 8 \oplus 8 \oplus 1$$

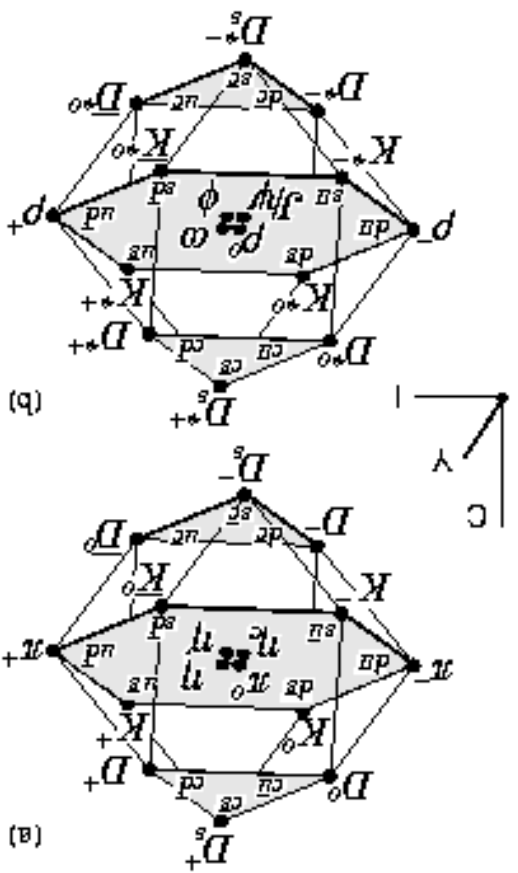
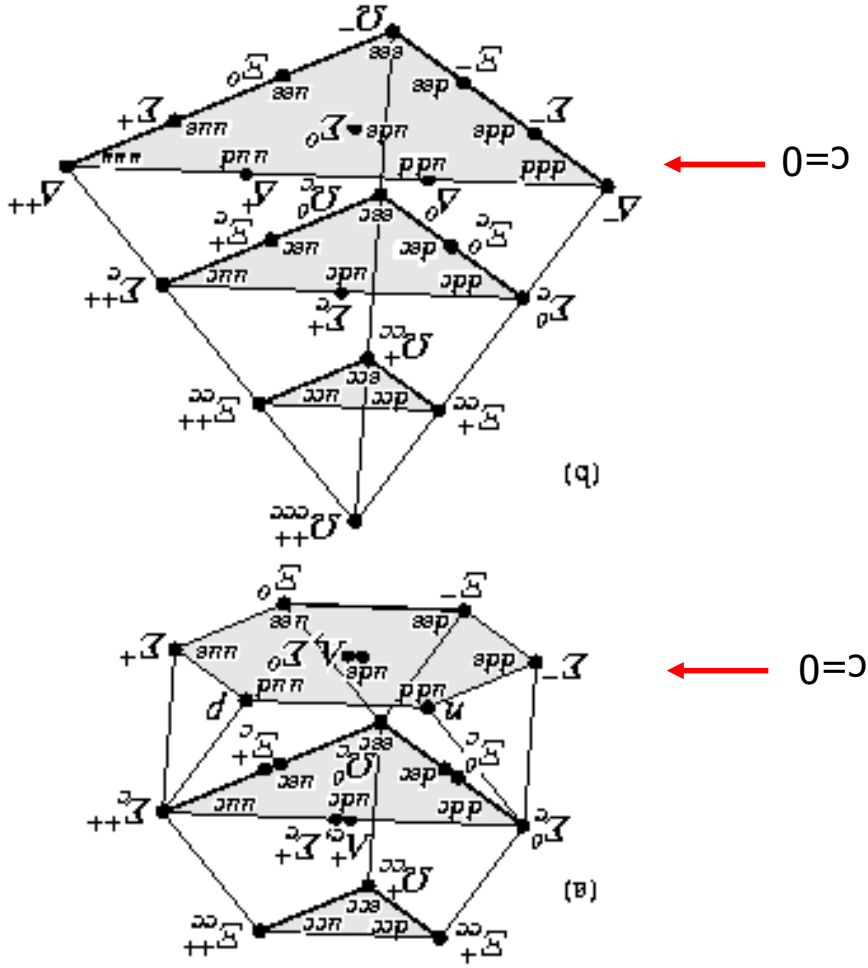
- Dekuplett (Δ) total symmetrisch in Quark-Flavour, Spins alle parallel ($J=3/2$).

- Oktetts (mit p, n): Symmetrisch bzgl. Vertauschung zweier Quarks inklusive Spins; keine def. Symmetrie bei Betrachtung der von Flavour/Spin alleine.

5.2 DARSTELLUNGS-DIAGRAMME

Übersicht aller Baryonen mit u, d, s, c

Charm-Mesonen:



Quelle: Particle Data Group (<http://pdg.lbl.gov>)

5.3 Erinnerung: QED: Muster für Quantenfeldtheorie

Wiederholung QED:

- Beschreibung geladener Leptonen durch Dirac-Spinoren

- Wirkungsquerschnitt:

|Matrixel. 2 x (1/Flussfaktor) x Phasenraum

- Struktur der WW - Eichboson (masseloses, neutrales Photon) koppelt an em. Ladung $\gamma_{it} A_{it}$

folgt aus lokaler Eichinvarianz

(Gruppe $U(1)$: $\exp(i \cdot q \cdot X(x))$)

- Berechnung der **Matrixelemente** mit Hilfe der Feynman-Regeln (z.B. aus Lagrangedichte ableitbar)

- Renormierung (renormalisation):

Diagramme höherer Ordnung divergieren! „beheben“ durch:

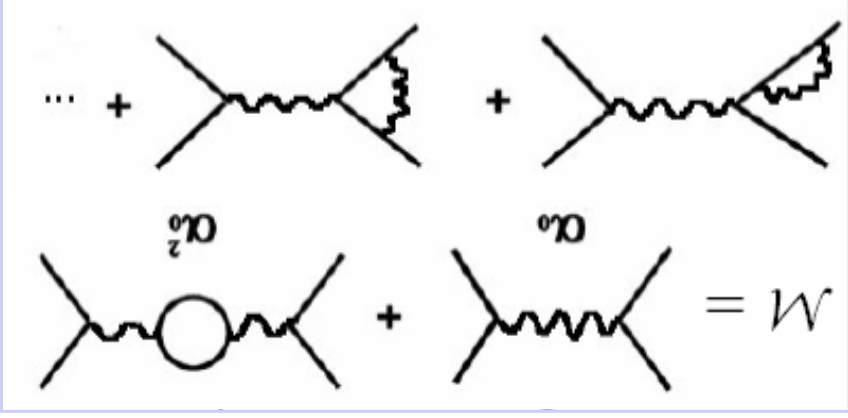
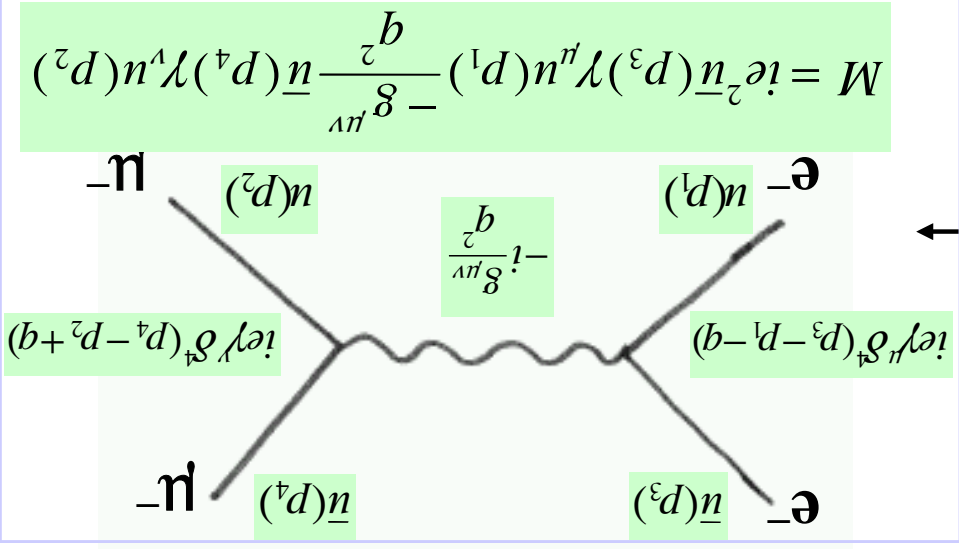
- **Ladungs-Renormierung** \rightarrow laufendes α (ersetze „nackte“ durch „renormierte“ Ladung)

und lasse Schleifendiagramme weg)

- **Massen-Renormierung** \rightarrow laufendes m (wie in Festkörperphysik „effektive Massen“; in QED durch WW mit den Vakuumfluktuationen)

http://www.itkp.uni-bonn.de/~hammer/HadronSemWS0506/gross_talk.pdf

$$d\sigma \propto |M|^2 p(E_f) j_{em}$$



5.3 QCD: SU(3)-Eichinvarianz

Nach dem Erfolg der QED (und EW) + Realität von Quarks → Theorie der starken WW auf Basis einer Eichtheorie, die invariant unter lokalen Transformationen im Farbraum ist

→ **QCD = Quanten-Chromo-Dynamik**

→ masselose Feldquanten, die an Farbladungen koppeln und als Farb-Antifarb-Zustände farbgeladen sind → **8 Gluonen**

- einfachheitshalber nur ein Quark q:

Dgl. freies Quark
Wellenfunktion

mit:

$$\chi_R = \begin{pmatrix} 1 \\ 0 \\ 0 \\ 0 \end{pmatrix}, \chi_G = \begin{pmatrix} 0 \\ 1 \\ 0 \\ 0 \end{pmatrix}, \chi_B = \begin{pmatrix} 0 \\ 0 \\ 1 \\ 0 \end{pmatrix}$$

Eichttransf.: $\Psi' = \exp(i g_s / 2 \lambda_j \beta_j(x)) \Psi$

$$\lambda_j \beta_j \equiv \sum_{j=1}^8 \lambda_j \beta_j$$

g_s ... Kopplungskonstante der starken WW
Invarianz nur wenn $m_R = m_G = m_B = m$

$\beta_1 \dots \beta_8$: 8 unabhängige Transformationswinkel,
 $\lambda_1 \dots \lambda_8$: Gell-Mann Matrizen der SU(3)
Analogon zu den Pauli-Matrizen der SU(2):
 $U = \exp(i \alpha_j \lambda_j / 2)$ "Drehung" um Winkel α_j

$$\lambda_1 = \begin{pmatrix} 0 & 1 & 0 \\ 1 & 0 & 0 \\ 0 & 0 & 0 \end{pmatrix} = \lambda_2 = \begin{pmatrix} 0 & 0 & 0 \\ 0 & 0 & i \\ 0 & -i & 0 \end{pmatrix}$$

$$\lambda_3 = \begin{pmatrix} 1 & 0 & 0 \\ 0 & 0 & 0 \\ 0 & 0 & -1 \end{pmatrix} = \lambda_4 = \begin{pmatrix} 0 & 0 & 0 \\ 0 & 0 & 0 \\ 0 & 0 & 0 \end{pmatrix}$$

$$\lambda_5 = \begin{pmatrix} 0 & 0 & 0 \\ 0 & 0 & 0 \\ 0 & 0 & 0 \end{pmatrix} = \lambda_6 = \begin{pmatrix} 0 & 0 & 0 \\ 0 & 0 & 0 \\ 0 & 0 & 0 \end{pmatrix}$$

$$\lambda_7 = \begin{pmatrix} 0 & 0 & 0 \\ 0 & 0 & 0 \\ 0 & 0 & 0 \end{pmatrix} = \lambda_8 = \frac{1}{\sqrt{3}} \begin{pmatrix} 1 & 0 & 0 \\ 0 & 1 & 0 \\ 0 & 0 & -2 \end{pmatrix}$$

Vertauschungsrel. $[\lambda_j, \lambda_k] = \lambda_j \lambda_k - \lambda_k \lambda_j = 2i \cdot f_{jkl} \lambda_l$
antisymm. Strukturkonst. $f_{123} = 1, f_{458} = f_{678} = \sqrt{3}/2$
 $f_{147} = f_{246} = f_{257} = f_{345} = f_{516} = f_{637} = 1/2$

→ Struktur QCD sehr komplex,
"nicht-Abelsche" Eich, da λ_j nicht vertauschen

5.3 QCD: SU(3)-Eichinvarianz + Lagrangedichte

Insgesamt gibt es 9-1=8 Gluonfelder G_{μ}^j (eine Kombination ist farbneutral *) i)

→ kovariante Ableitung **) $D_{\mu} = \partial_{\mu} + i \frac{g_s}{2} \lambda_j^f G_{\mu}^j$

(QED: $D_{\mu} = \partial_{\mu} + iqA_{\mu}$)

Invarianz ist gewährleistet wenn (Übung):

Dreh. im 3-d Farbraum

$$\Psi \rightarrow \Psi' = \exp(i \frac{g_s}{2} \lambda_j^f \beta_j^f(x)) \Psi$$

$$G_{\mu}^j \rightarrow G_{\mu}^{\prime j} = G_{\mu}^j - \partial_{\mu} \beta_j^f - g_s f^{jkl} \beta_k^l G_{\mu}^l$$

$$\left(\begin{array}{l} \text{QED: } \Psi \rightarrow \Psi' = \exp(iq\chi)\Psi \\ A_{\mu} \rightarrow A'_{\mu} = A_{\mu} - \partial_{\mu} \chi \end{array} \right)$$

Zusatzterm (Konsequenz der Nicht-Vertauschbarkeit der SU(3)-Transformation $\sim g_s \rightarrow$ gleiche Kopplung für alle Quarksorten u,d,s,c,b,t und alle Farbladungen R,G,B [em.: verschiedene Kopplungen (1/3, 2/3, 1, 2/3, 1, Z)·e i])

*) farbneutrales Gluon würde Kernkräfte mit Reichweite ∞ zur Folge haben; Gruppe SU(3) hat nur acht λ -Matrizen (**) j ... Farbindex - $\mu \dots$ Lorentz-index

Feldstärketensor und Lagrangedichte:

$$F_{\mu\nu}^j = \partial_{\mu} G_{\nu}^j - \partial_{\nu} G_{\mu}^j - g_s f^{jkl} G_{\mu}^k G_{\nu}^l$$

$$L = \bar{\Psi} (i \gamma^{\mu} D_{\mu} - m) \Psi - 1/4 \cdot F_{\mu\nu}^j F_{\mu\nu}^j$$

(QED: $F_{\mu\nu} = \partial_{\mu} A_{\nu} - \partial_{\nu} A_{\mu}$)

$$L = \bar{\Psi} (i \gamma^{\mu} D_{\mu} - m) \Psi - 1/4 \cdot F_{\mu\nu}^j F_{\mu\nu}^j$$

für > 1 Quark: 1^{ter} Term Σ Quarksorten

Feynmanregeln – analog zur QED:

$$-i \frac{g_s}{2} \lambda_{\alpha} \gamma_{\mu}$$

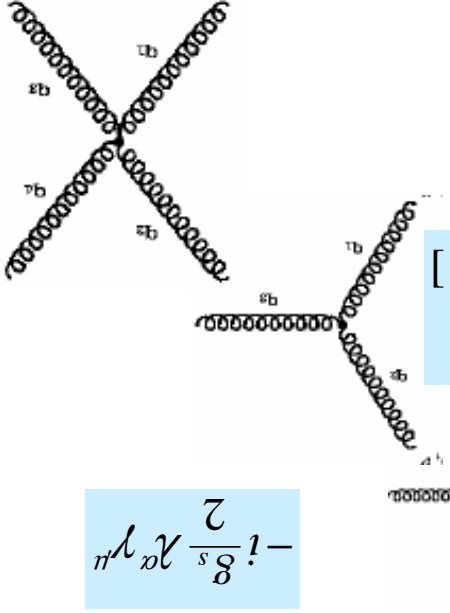
Quark-Gluon-V.

3-Gluon-Vertex

$$-g_s f^{jkl} \lambda_{\alpha} \gamma_{\mu} [g_{\nu\lambda} (q_2 - q_3)^{\mu} - g^{\lambda\mu} (q_1 + q_3)^{\nu}] + g^{\nu\lambda} (q_2 - q_3)^{\mu} - g^{\lambda\mu} (q_1 + q_3)^{\nu}]$$

4-Gluon-Vertex

kompliziert



5.3 Die QCD-Lagrangedichte, (fast) wie QED

$$L_{\text{QCD}} = -\frac{1}{4} F^{(a)\mu\nu} F^{(a)\mu\nu} + i \sum_q \bar{\psi}_q^i \gamma_\mu (D^\mu)_{ij} \psi_q^j$$

Gluon-Feld-Term
Quark+Wechselwirkungsterm

$$- \sum_q m_q \bar{\psi}_q^i \psi_{qi}^j$$

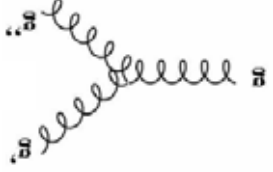
Quark-Massen-Term:

$$F^{(a)\mu\nu} = \partial^\mu A_\nu^a - \partial^\nu A_\mu^a - g_s f^{abc} A_\mu^b A_\nu^c,$$

Farb-Index \rightarrow

$$(D^\mu)_{ij} = \delta_{ij} \partial^\mu + i g_s \sum_a \frac{\lambda_{ij}^a}{2} A_\mu^a,$$

Gluon-Selbst-
wechsellwirkung!

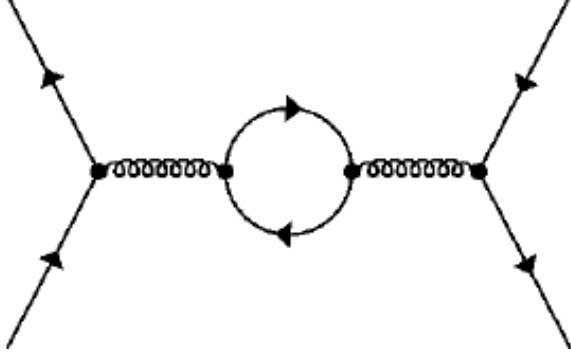


- sieht "harmlos" aus (fast wie QED), aber hat es in sich!

5.3 QCD: Renormierung und laufende Kopplung

Wie in der QED divergieren Schleifendiagramme und die ∞ -en Werte werden in den Massen und Kopplungen "absorbiert".

Quarkschleifen:



$$g_s^2 = 4\pi\alpha_s$$

Summe über N_f Quark-Anti-Quark-Paare

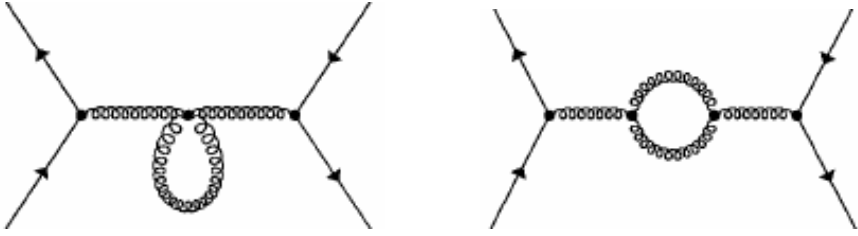
$$\alpha_s(\tilde{Q}_2) \Big|^{qb} = \alpha_s(\tilde{Q}_2^0) \left(1 + \frac{6\pi}{N_f} \alpha_s(\tilde{Q}_2^0) \text{Im} \left(\frac{\tilde{Q}_2^0}{\tilde{Q}_2} \right) \right)$$

Abschirmung der "Ladung" bei wachsendem Abstand durch Farbdipole (wie bei der QED)

$$\alpha_s(\tilde{Q}_2) \Big|^{e^+e^-} = \frac{\alpha_s(\tilde{Q}_2^0)}{\alpha_s(\tilde{Q}_2^0) \left(1 - \frac{3\pi}{N_f} \alpha_s(\tilde{Q}_2^0) \text{Im} \left(\frac{\tilde{Q}_2^0}{\tilde{Q}_2} \right) \right)}$$

QED:

Gluonschleifen (wegen Selbstkopplung):



$$\alpha_s(\tilde{Q}_2) \Big|^{ss} = \alpha_s(\tilde{Q}_2^0) \left(1 - \frac{4\pi}{11} \alpha_s(\tilde{Q}_2^0) \text{Im} \left(\frac{\tilde{Q}_2^0}{\tilde{Q}_2} \right) \right)$$

+ \leftrightarrow - Verstärkung "Ladung" mit Abstand

Addition und Summierung über alle Ordnungen:

$$\alpha_s(\tilde{Q}_2) = \frac{\alpha_s(\tilde{Q}_2^0)}{\alpha_s(\tilde{Q}_2^0) \left(1 + \frac{6\pi}{N_f} \alpha_s(\tilde{Q}_2^0) \text{Im} \left(\frac{\tilde{Q}_2^0}{\tilde{Q}_2} \right) \right)}$$

mit:

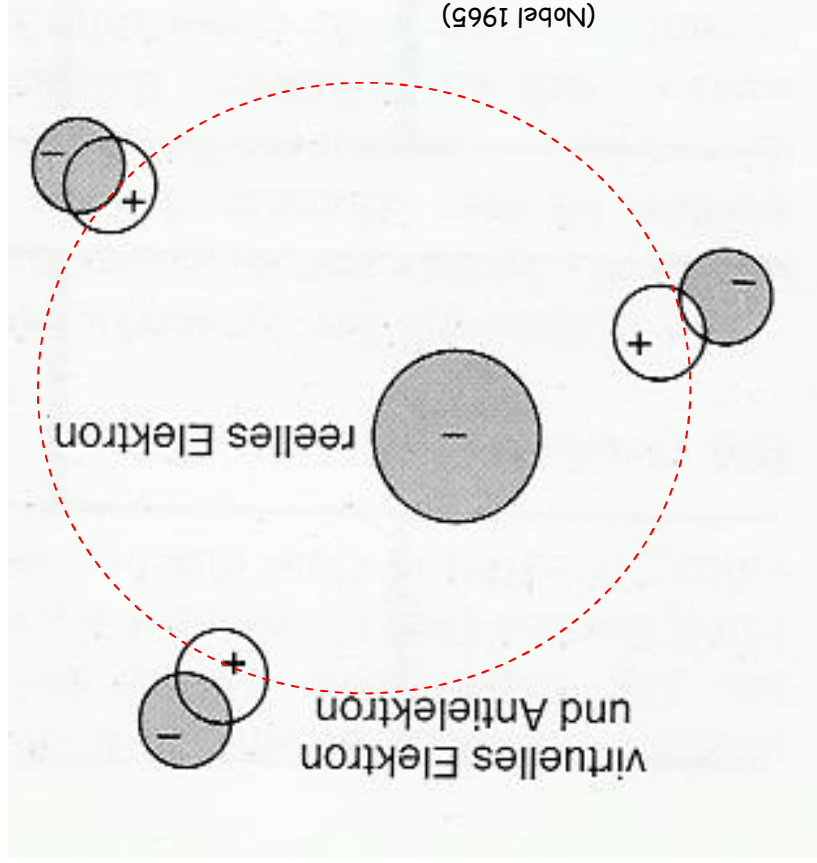
$$N_f = \tilde{Q}_2^0 \exp(-12\pi / ((33 - 2N_f) \alpha_s(\tilde{Q}_2^0)))$$

$$\alpha_s(\tilde{Q}_2) = \frac{12\pi}{(33 - 2N_f) \text{Im}(\tilde{Q}_2 / \tilde{Q}_2^0)}$$

($N_f \dots$ Flavours mit $2m_q > |Q|$)

5.3 QED: Abschirmung der elektrischen Ladung

- elektrische Ladung polarisiert Vakuum -> virtuelle Elektron-Positron-Paare
- Positronen schirmen Elektron-Ladung teilweise ab
- effektive Ladung/Kraft nimmt bei großen Abständen/niedriger Energie ab
- nimmt bei kleinen Abständen/großer Energie zu



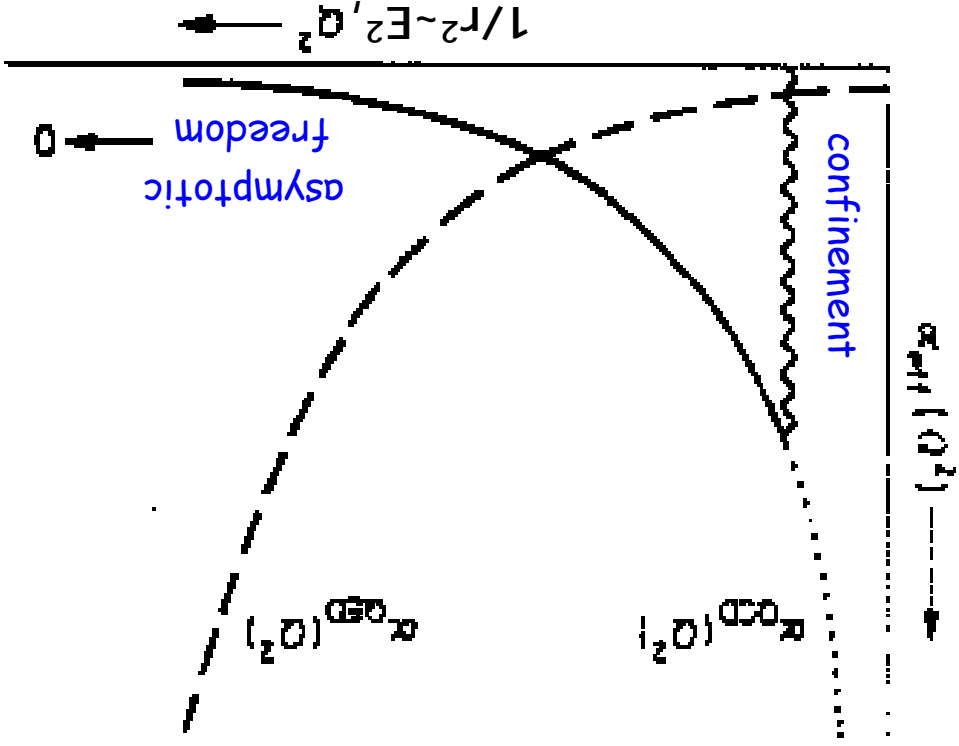
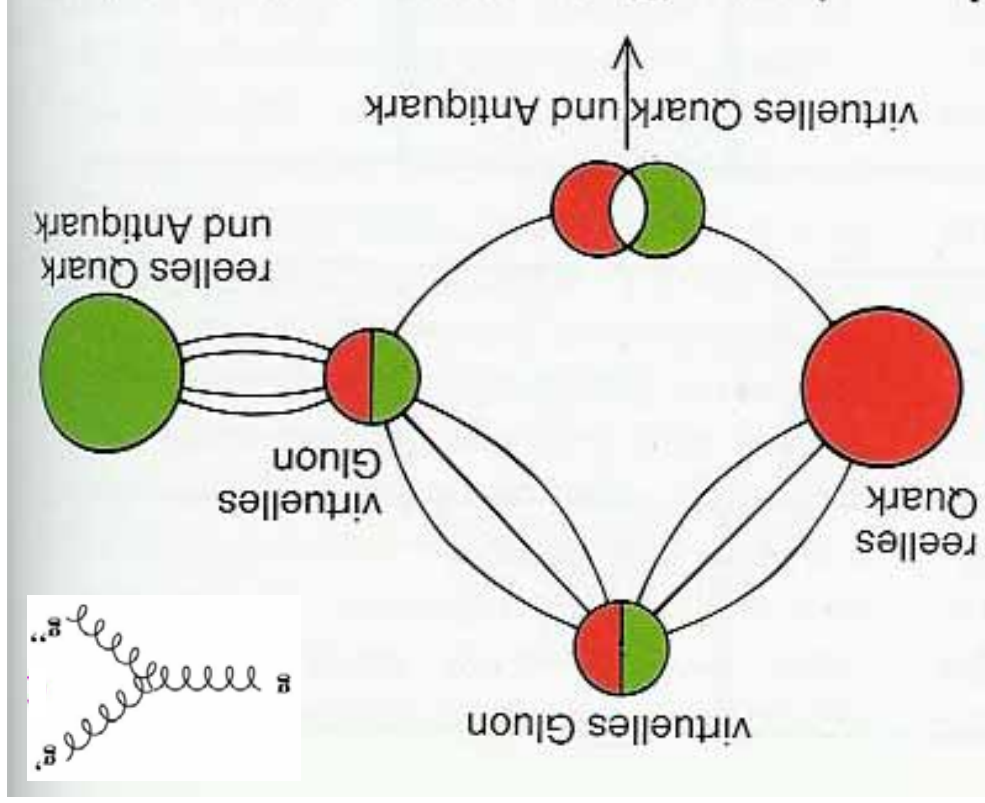
(Nobel 1965)



Sin-Itoro Tomonaga Julian Schwinger Feynman Richard P.

5.3 QCD: Anti-Abschirmung der Farbladung!

- Quark-Antiquark-Paare -> Abschirmung
- Gluonen tragen Farbe -> gg-Paare -> anti-Abschirmung!



5.3 QCD: Laufende Kopplung – perturbative QCD

für $Q^2 (\gg \Lambda^2) \rightarrow \infty \alpha_s \rightarrow 0$: **Asymptotische Freiheit**

(1972 - D.Green, D.Poltzer, F.Wilczek Nobelpreis 2004)

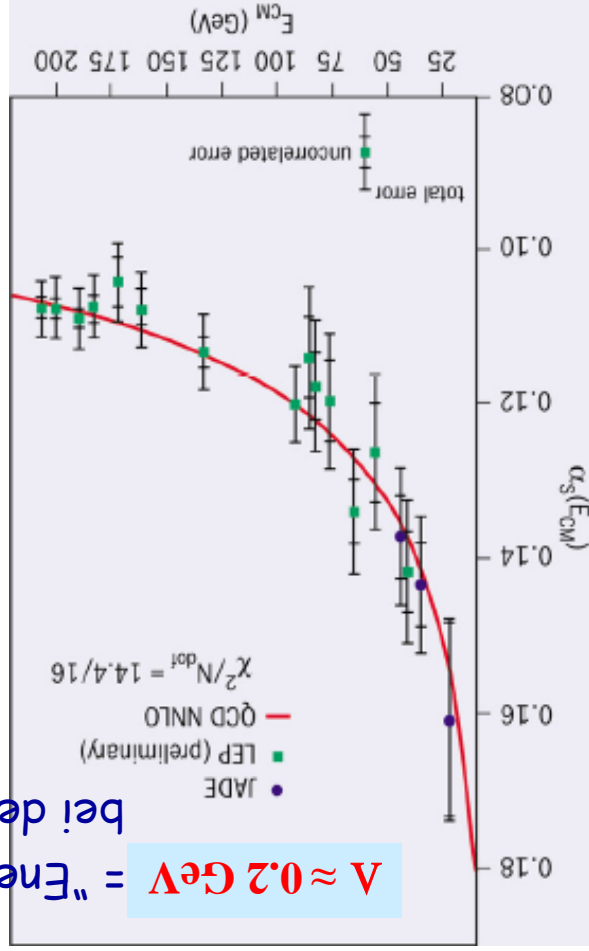


da $r = \hbar c/|Q|$ entspricht großes Q kleinen Abständen
 → "perturbative QCD" – Störungstheorie anwendbar, (ein Gluon-Austausch mit $m_g=0 \rightarrow$ "Coulomb" $\sim 1/r$)
 → Präzisionstests der starken Kraft möglich (mehr später)

$$\alpha_s(Q^2) = \frac{12\pi}{(33 - 2N_f) \ln(Q^2/\Lambda^2)}$$

α_s Messung in e^+e^- WW: $\Lambda \approx 0.2 \text{ GeV}$

$\Lambda \approx 0.2 \text{ GeV}$ = "Energieskala, bei der $\alpha_s \rightarrow \infty$ "



5.3 Vergleich QED / QCD

Elektromagnetismus

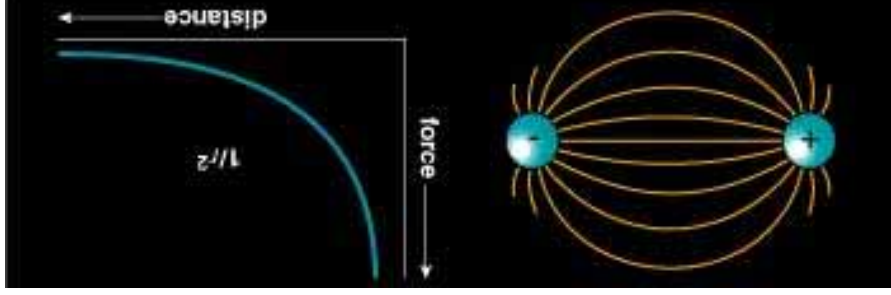
$\overline{\text{QED}}$

1 Ladung (q)

Kraft vermittelt durch **Photonen**

Photonen sind *neutral*

α ist fast konstant



Starke Wechselwirkung

$\overline{\text{QCD}}$

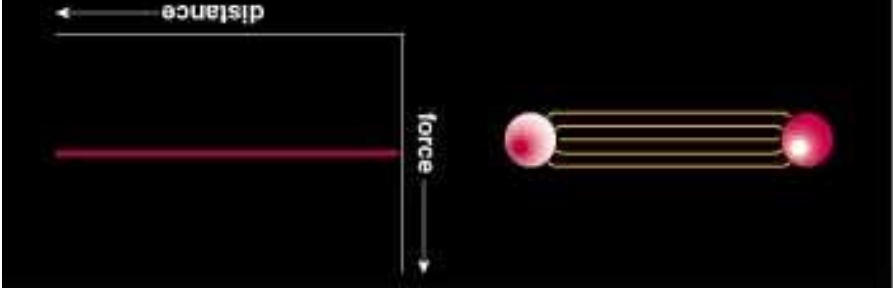
3 verschiedene Ladungen (r, g, b)

Kraft vermittelt durch **Gluonen**

Gluonen sind *geladen* (eg. r \bar{g} , b \bar{b} , g \bar{b})

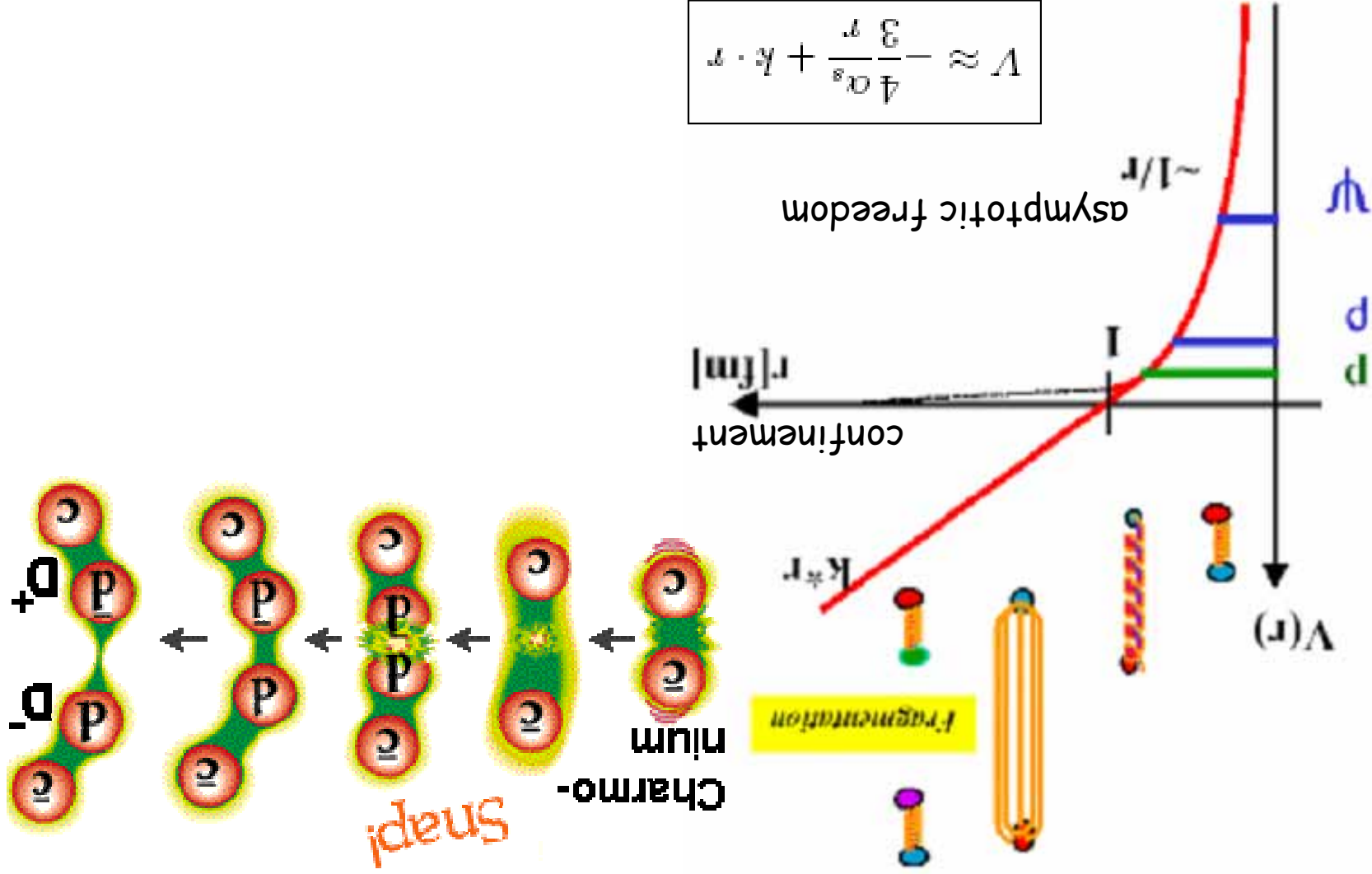
α_s hängt stark vom Abstand ab

confinement limit:



- Die zugrundeliegenden Theorien sind formal sehr ähnlich!

5.3 Das effektive Potential für qq-Wechselwirkungen



5.3 Spektroskopie schwerer Quarks

Burton Richter



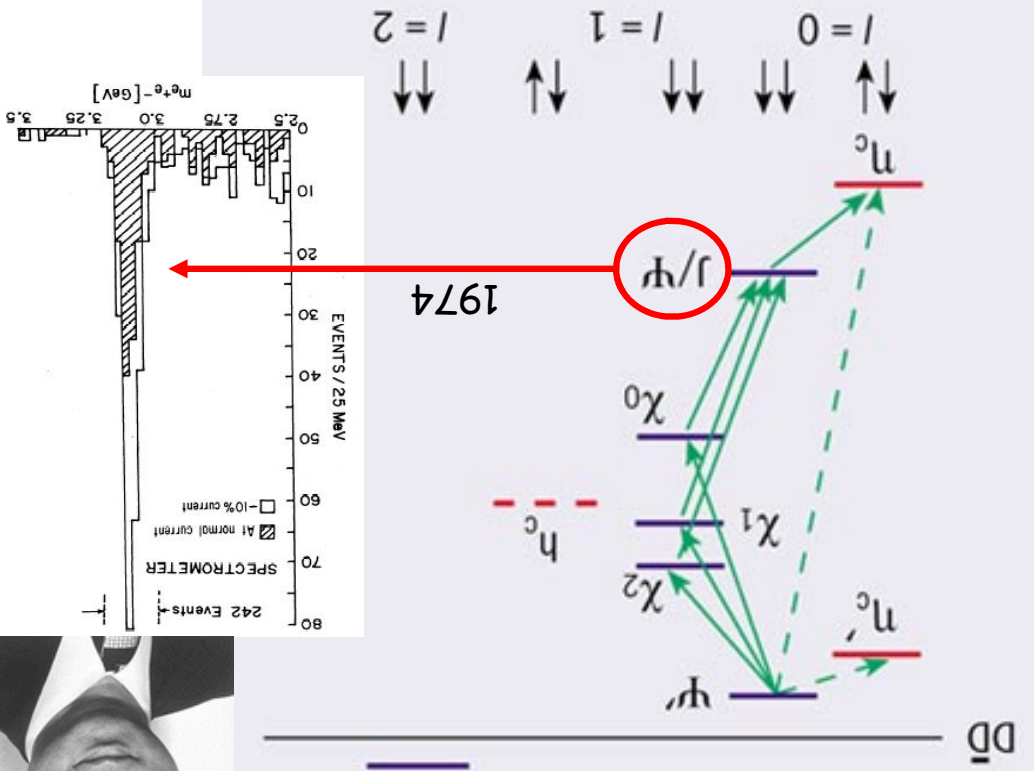
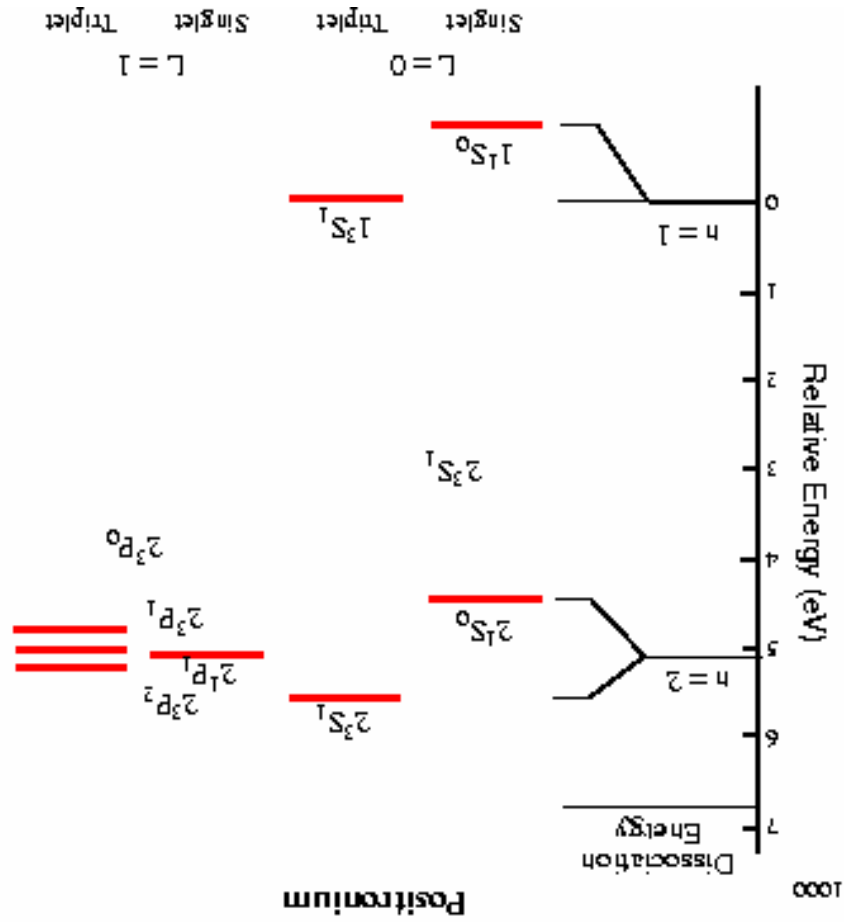
(Nobel 1976)

Samuel C.C. Ting



Charmonium = gebundenes System eines $c\bar{c}$ Quark-Paares

Positronium = gebundenes e^+e^- - System



1974

J/ψ

5.3 QCD: Laufende Kopplung – nicht-pert. QCD

für $Q^2 (> 1 \text{ GeV}^2) \rightarrow \Lambda^2: \alpha_s \rightarrow \text{gro\ss}$

→ Multi-Gluonenaustausch

→ "nicht-perturbativer" Bereich, Rechnungen mit

Gittertheorie oder phänomenologische

Modelle (z.B. Kernphysik)

→ Selbstwechselwirkung der Gluonen (farb-

magnetische Anziehung) analog zu "Expander"

bildet sich "String" aus

$$V(r) = -\frac{4\alpha_{\text{eff}}}{3 \cdot r} + \sigma \cdot r \quad \text{mit } \sigma \approx 0.9 \text{ GeV} / \text{fm}$$

→ Confinement (keine freien Quarks/Gluonen),

→ Kernkräfte = QCD-RestWW (van der Waals)

→ komplexe (z.Zt. nicht berechenbar) Struktur

der Hadronen

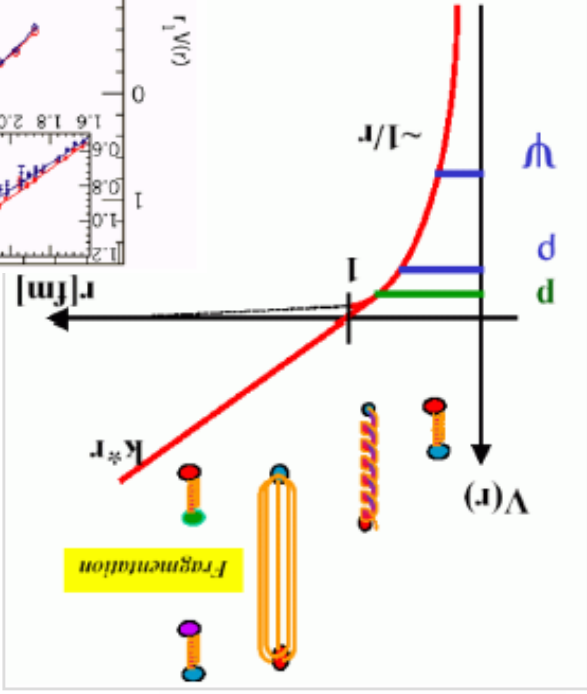
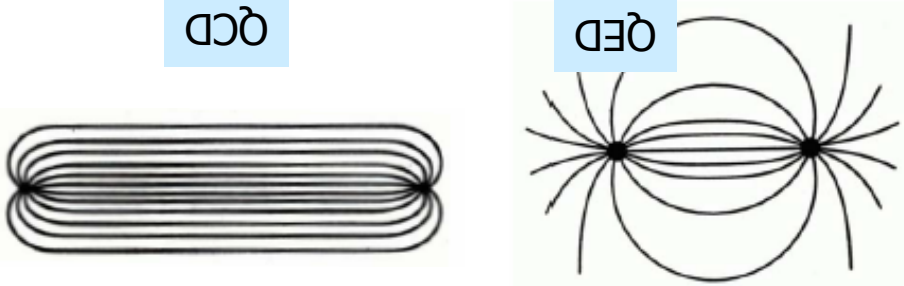
→ sobald (z.B. in hochenergetischer WW) Ab-

stand Quark-Antiquark > 1 fm bilden sich neue

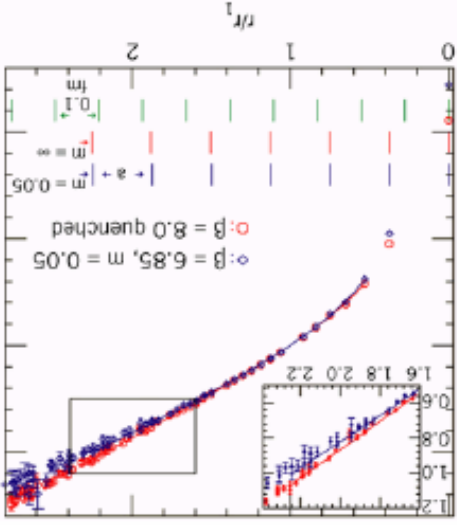
Quark-Antiquark-Paare → Quarks und Gluonen

fragmentieren Teilchenbündel "Jets"

nicht-pert. Problem tritt **immer** bei Hadronen auf



QCD-Potential aus Gitterrechnungen



QCD

QED